

PONTOS INTEIROS EM CORPOS CONVEXOS

1 Enumerador de Pontos Inteiros

Dado um conjunto $K \subset \mathbb{R}^n$, com $0 < \text{vol } K$, nosso objetivo é estimar $\#(K \cap \mathbb{Z}^n)$. É intuitivo que se K seja “suficientemente grande”, a quantidade de pontos inteiros em K aproxime-se de $\text{vol } K$, a menos, possivelmente, de alguns pontos na fronteira. Nesta seção demonstraremos que isto é verdade, e exibiremos cotas para $|\#(K \cap \mathbb{Z}^n) - \text{vol } K|$, quando K é a expansão homogênea de um conjunto convexo.

Definamos $L_K(r) = \#(rK \cap \mathbb{Z}^n)$ como a quantidade de pontos inteiros em uma expansão homogênea de K . Provaremos o seguinte

Teorema 1 (Informal). *Se $K \subset \mathbb{R}^n$ é “razoável”, então*

$$\lim_{r \rightarrow \infty} \frac{L_K(r)}{\text{vol } rK} = 1. \quad (1)$$

Exemplo 1. *Seja $K = [-1, 1]^n$ um cubo de lado 2. Temos claramente*

$$\#(rK \cap \mathbb{Z}^n) = (2r + 1)^n = 2^n r^n + \sum_{i=0}^{n-1} \binom{n}{i} (2r)^i = \text{vol } rK + O(r^{n-1}).$$

Portanto:

$$\lim_{r \rightarrow \infty} \frac{L_K(r)}{\text{vol } rK} = 1.$$

Mais do que isso, o “erro” na estimativa de $L_K(r)$ é dado por

$$|L_K(r) - \text{vol } rK| = \sum_{i=0}^{n-1} \binom{n}{i} (2r)^i = O(r^{n-1}).$$

O exemplo acima nos mostra que, para conjuntos gerais não podemos esperar que o erro seja quantitativamente melhor que $O(r^{n-1})$. De fato, é intuitivo que o exemplo do cubo represente, de uma certa forma, o “pior”

erro de estimativa de $L_K(r)$ por $\text{vol } rK$. Veremos a seguir que, a menos de constantes, esse fato é verdade.

Teorema 1. (Conjuntos Convexos) *Se $K \subset \mathbb{R}^n$ é um corpo convexo fechado, o Teorema 1 é válido. Neste caso, temos*

$$|L_K(r) - \text{vol } rK| \leq \text{vol } K \sum_{i=0}^{n-1} \binom{n}{i} r^i l_0^{n-i} = O(r^{n-1}),$$

em que

$$l_0 = \max_{\mathbf{x} \in [-\frac{1}{2}, \frac{1}{2}]^n} F_K(\mathbf{x}).$$

é uma constante que depende de K .

Demonstração. Seja $F_K(\mathbf{x})$ a função de distância de K . Provaremos as inclusões de conjunto

$$(r - l_0)K \subset \bigcup_{\mathbf{x} \in \mathbb{Z}^n \cap K} \left(\mathbf{x} + \left[-\frac{1}{2}, \frac{1}{2} \right]^n \right) \subset (r + l_0)K \quad (2)$$

(i) Seja $\mathbf{y} = \mathbf{x} + \mathbf{u}$, com $\mathbf{x} \in \mathbb{Z}^n$ e $\mathbf{u} \in [-1/2, 1/2]^n$. Da desigualdade triangular e da definição de l_0 segue que

$$F_K(\mathbf{y}) \leq F_K(\mathbf{x}) + F_K(\mathbf{u}) \leq r + l_0,$$

o que implica $\mathbf{y} \in (r + l_0)K$.

(ii) Seja $\mathbf{y} \in (r - l_0)K$. Escrevemos $\mathbf{y} = \mathbf{x} + \mathbf{u}$, $\mathbf{x} \in \mathbb{Z}^n$ e $\mathbf{u} \in [-1/2, 1/2]^n$. Queremos mostrar que $\mathbf{x} \in K$. Temos

$$F_K(\mathbf{x}) \leq F_K(\mathbf{y}) + F_K(-\mathbf{u}) \leq (r - l_0) + l_0 = r,$$

o que completa a demonstração.

Da tripla inclusão de conjuntos (2), e da Proposição 1a. da primeira aula temos

$$\text{vol } (r - l_0)K \leq \text{vol} \left(\bigcup_{\mathbf{x} \in \mathbb{Z}^n \cap K} \left(\mathbf{x} + \left[-\frac{1}{2}, \frac{1}{2} \right]^n \right) \right) \leq \text{vol } (r + l_0)K$$

$$(r - l_0)^n \text{vol } K \leq L_K(r) \leq (r + l_0)^n \text{vol } K.$$

Aplicando o limite nos três termos, temos o resultado desejado. Uma simples manipulação da igualdade acima nos dá o limitante para o erro. \square

Observação 1. Para o teorema acima não precisamos, de fato, que K seja fechado, entretanto neste caso a demonstração é “mais limpa”.

Exemplo 2 (Problema do Círculo de Gauss). Seja $K = \{(x_1, x_2) : x_1^2 + x_2^2 \leq 1\} = B_2(1)$. Na notação do teorema acima, $l_0 = \sqrt{2}/2$ e portanto

$$|L_K(r) - \pi r^2| \leq \sqrt{2}\pi r + 1/2.$$

Este problema data de Gauss e expoentes muito melhores que r^{n-1} são conhecidos. O melhor limitante assintótico conhecido para o erro, $O(r^{131/208})$, é devido a Huxley [Hux03].

Teorema 1. (Conjuntos Mensuráveis) Se $K \subset \mathbb{R}^n$ é limitado e $0 < \text{vol } K < \infty$, então o Teorema 1 é válido com $|L_K(r) - \text{vol } rK| = O(r^{n-1})$.

Demonstração. Veja os argumentos *en passant* de [GL87, p. 141] ou as notas de aula do Prof. Fukshansky, p. 64 para uma demonstração sob algumas hipóteses adicionais na fronteira de K . \square

2 Teoremas de Minkowski e Blichfeld

Os resultados da seção anterior nos mostram estimativas para a quantidade de pontos inteiros em K . Caracterizaremos, agora, condições suficientes para que $\#(K \cap \mathbb{Z}^n) \neq \{0\}$, ou seja, para que haja, de fato, um ponto inteiro não nulo em K . Iniciaremos pelo seguinte resultado, largamente utilizado, que pode ser visto como uma espécie de “princípio das casas dos pombos” da Geometria dos números.

Teorema 2 (Blichfeld). Se $\text{vol } K > 1$, então existem $\mathbf{x}, \mathbf{y} \in K$, $\mathbf{x} \neq \mathbf{y}$, tais que $\mathbf{x} - \mathbf{y} \in \mathbb{Z}^n$.

Demonstração. A demonstração é feita utilizando uma técnica similar ao *tangram*. Seja $\mathcal{P} = [0, 1]^n$ um cubo fundamental de \mathbb{Z}^n . Como \mathcal{P} ladrilha o espaço, existem $\mathbf{x}_1, \mathbf{x}_2, \dots, \mathbf{x}_m$ tais que

$$K = (K \cap \mathcal{P} + \mathbf{x}_1) \cup (K \cap \mathcal{P} + \mathbf{x}_2) \cdots \cup (K \cap \mathcal{P} + \mathbf{x}_m).$$

Portanto

$$\text{vol } K = \sum_{i=1}^m \text{vol} \left(K \cap (\mathcal{P} + \mathbf{x}_i) \right) > 1.$$

Transladando cada intersecção $K \cap (\mathcal{P} + \mathbf{x}_i)$ por $-\mathbf{x}_i$, temos que

$$\bigcup_{i=1}^m (K - \mathbf{x}_i) \cap \mathcal{P} \subset \mathcal{P} \Rightarrow \text{vol} \left(\bigcup_{i=1}^m (K - \mathbf{x}_i) \cap \mathcal{P} \right) \leq 1$$

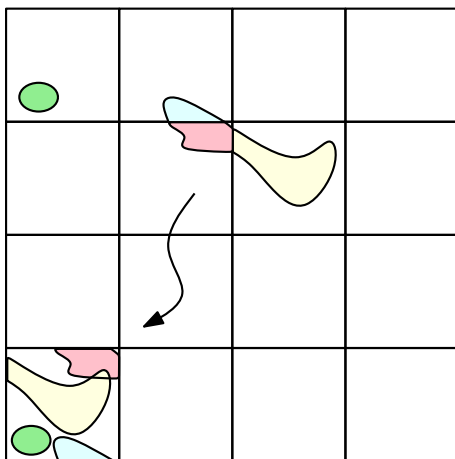


Figura 1: Ideia da prova do Teorema de Blichfeldt. O conjunto K (neste caso desconexo) é constituído pelas partes coloridas, a serem trasladadas para o cubo fundamental $[0, 1]^n$.

Portanto devem existir $i \neq j$ tais que $(K - \mathbf{x}_i)$ e $(K - \mathbf{x}_j)$ não são disjuntos (veja Figura 1), caso contrário teríamos

$$\text{vol} \left(\bigcup_{i=1}^m (K - \mathbf{x}_i) \cap \mathcal{P} \right) = \sum_{i=1}^m \text{vol} \left((K - \mathbf{x}_i) \cap \mathcal{P} \right) = \text{vol } K > 1.$$

Tomando $\mathbf{u} \in (K - \mathbf{x}_i) \cap (K - \mathbf{x}_j)$, vemos que $\mathbf{u} = \mathbf{k}_1 - \mathbf{x}_i = \mathbf{k}_2 - \mathbf{x}_j$, com $\mathbf{k}_1, \mathbf{k}_2 \in K$ e $\mathbf{x}_i, \mathbf{x}_j \in \mathbb{Z}^n$, ou seja, $\mathbf{k}_1 - \mathbf{k}_2 \in \mathbb{Z}^n$, como queríamos demonstrar. \square

O Teorema de Blichfeldt é o melhor possível para conjuntos gerais. Para ver isso, tome $K = (0, 1)^n$. Utilizando o Teorema de Blichfeldt podemos demonstrar o

Teorema 3 (Primeiro Teorema de Minkowski). *Se K é um corpo convexo, simétrico em relação à origem, e $\text{vol } K > 2^n$, então existe um ponto $\mathbf{x} \neq 0$ tal que $\mathbf{x} \in K \cap \mathbb{Z}^n$.*

Demonstração. Considere o conjunto $HK = (1/2)K$. Temos $\text{vol } HK = (1/2^n)\text{vol } K > 1$. Portanto, pelo Teorema 2, existem dois pontos $(1/2)k_1$ e $(1/2)k_2$ em HK tais que $(1/2)k_1 - (1/2)k_2 \in \Lambda$. Como K é convexo e simétrico pela origem, $(1/2)K - (1/2)K = K$, o que completa a demonstração. \square

Observação 2. *Do teorema acima, pelo fato de K ser simétrico em relação à origem, temos $\#(K \cap \mathbb{Z}^n) = L_K(1) \geq 3$.*

Observação 3. Nos teoremas de Minkowski e Blichfield, se K é fechado, então podemos substituir $>$ por \geq .

É possível generalizar ambos os teoremas, conforme descrito a seguir

Teorema 4 (Blichfield 2.0). *Seja $m \in \mathbb{N}$. Se $\text{vol } K > m$, então existem $m + 1$ pontos $\mathbf{x}_1, \mathbf{x}_2, \dots, \mathbf{x}_{m+1} \in K$ tais que*

$$\mathbf{x}_i - \mathbf{x}_j \in \mathbb{Z}^n, \forall 1 \leq i, j \leq m + 1.$$

Demonstração. Analisaremos o conjunto $K \cap (1/r)\mathbb{Z}^n$, para r suficientemente grande. Vemos claramente que $\#(K \cap (1/r)\mathbb{Z}^n) = L_K(r)$ e, portanto $\lim \#(K \cap (1/r)\mathbb{Z}^n)/r^n \text{vol } K = 1$. Como $\text{vol } K > m$, existe r_0 tal que, para $r > r_0$, $\#(K \cap (1/r)\mathbb{Z}^n) > r^n m$. Para cada $\mathbf{x} \in K \cap (1/r)\mathbb{Z}^n$, seja $\mathbf{u} = r\mathbf{x} \in \mathbb{Z}^n$. Como há pelo menos $r^n m + 1$ possíveis vetores \mathbf{u} , e há r^n classes de equivalência de $\mathbf{u} \pmod r$, temos, pelo princípio das casas dos pombos generalizado, que pelo menos $m + 1$ desses vetores estão na mesma classe de equivalência módulo r . Denotando por $\mathbf{u}_1, \dots, \mathbf{u}_{m+1}$ esses vetores e $\mathbf{x}_i = (1/r)\mathbf{u}_i$, temos:

$$\mathbf{x}_i - \mathbf{x}_j = (1/r)(\mathbf{u}_i - \mathbf{u}_j) \in \mathbb{Z}^n \cap K,$$

como queríamos demonstrar. □

Muito similarmente ao Teorema 3, podemos mostrar

Teorema 5 (Minkowski 2.0). *Se K é um conjunto convexo, simétrico em relação à origem, e $\text{vol } K > m2^n$, então existem m pontos não-nulos $\mathbf{x}_1, \dots, \mathbf{x}_m$ tais que $\mathbf{x}_i \in K \cap \mathbb{Z}^n$.*

Pelas mesmas razões do Primeiro Teorema de Minkowski (e com um pouco de cuidado...) temos $L_K(1) = \#(K \cap \mathbb{Z}^n) \geq 2m + 1$.

Da maneira que enunciamos os teoremas das duas primeiras seções, é difícil visualizar claramente qualquer aplicação. Entretanto, uma simples generalização torna-os ferramentas poderosas.

3 Enumeradores de Pontos Inteiros e Teoremas de Minkowski Revisitados

Seja $A \in \mathbb{R}^{n \times n}$ uma matriz invertível e $A\mathbb{Z}^n = \{A\mathbf{x} : \mathbf{x} \in \mathbb{Z}^n\}$. Temos que $\mathbf{x} \in K \cap (A\mathbb{Z}^n)$ se, e somente se, $A^{-1}\mathbf{x} \in A^{-1}K \cap \mathbb{Z}^n$. Assim, existe uma

bijeção entre os pontos de $K \cap (AZ^n)$ e $\in A^{-1}K \cap \mathbb{Z}^n$, e portanto a cardinalidade de ambos os conjuntos é a mesma. Desta simples observação, obtemos versões dos teoremas estudados quando o conjunto \mathbb{Z}^n é substituído pela imagem de \mathbb{Z}^n sob uma transformação linear. Essas versões são generalizações poderosas.

Teorema 1. (Sob Transformações Lineares) *Se $K \subset \mathbb{R}^n$ é um conjunto limitado tal que $0 < \text{vol } K < \infty$, então*

$$\lim_{r \rightarrow \infty} \frac{\#(K \cap AZ^n)}{\text{vol } rK} = \frac{1}{\det A}.$$

Teorema 2. (Blitchfield sob Transformações Lineares) *Se $\text{vol } K > \det A$, então existem $\mathbf{x}, \mathbf{y} \in K$, $\mathbf{x} \neq \mathbf{y}$, tais que $\mathbf{x} - \mathbf{y} \in AZ^n$.*

Teorema 3. (Blitchfield sob Transformações Lineares) *Se $\text{vol } K > \det A$, então existem $\mathbf{x}, \mathbf{y} \in K$, $\mathbf{x} \neq \mathbf{y}$, tais que $\mathbf{x} - \mathbf{y} \in AZ^n$.*

Similarmente, podemos generalizar os teoremas 5 e 6. Veremos uma aplicação destas generalizações sobre formas quadráticas (e representações de inteiros) nas próximas aulas. Por enquanto, enunciaremos uma aplicação em aproximações diofantinas.

3.1 Um Teorema sobre Equações Diofantinas

Uma *forma linear* é uma transformação $\xi : \mathbb{R}^n \rightarrow \mathbb{R}$ do tipo

$$\xi(\mathbf{x}) = m_1x_1 + \dots + m_nx_n,$$

com $m_i \in \mathbb{R}$. Dado \mathbf{y} , uma equação do tipo $\xi(\mathbf{x}) = \mathbf{y}$ é dita uma *equação diofantina linear*. Dadas n formas lineares em n variáveis, associamos a estas uma matriz $A_{ij} = \xi_i(\mathbf{e}_j)$ e dizemos que o determinante dessas formas é igual a $\det A$.

Teorema 6. *Sejam ξ_1, \dots, ξ_n formas lineares em n variáveis. Considere a matriz A_{ij} como descrito acima. Sejam números positivos t_1, \dots, t_n tais que $t_1t_2 \dots t_n = |\det A|$. Existem um vetor $\mathbf{x} \in \mathbb{Z}^n$ não-nulo tal que*

$$|\xi(\mathbf{x}_i)| < t_i.$$

Demonstração. Seja K o paralelepípedo $K = \{\mathbf{x} \in \mathbb{R}^n : |\xi(\mathbf{x})| \leq t_i\}$. Temos $A^{-1}K = \{\mathbf{y} \in \mathbb{R}^n : |y_i| \leq t_i\}$. Claramente $A^{-1}K$ (e portanto \mathcal{P}) é um corpo convexo, fechado, simétrico com relação à origem e

$$\text{vol}(A^{-1}K) = |\det A^{-1}| \text{vol } \mathcal{P} = 2^n t_1 \dots t_n.$$

Assim, $\text{vol } K = 2^n$ e o teorema segue do Primeiro Teorema de Minkowski 3, e da Observação 3. \square

Como um caso especial do teorema acima, tome

$$A = \begin{pmatrix} -1 & 0 & 0 & \dots & 0 & \alpha_1 \\ 0 & -1 & 0 & \dots & 0 & \alpha_2 \\ \vdots & \vdots & \ddots & \ddots & \vdots & \vdots \\ \vdots & \vdots & \ddots & \ddots & \vdots & \vdots \\ 0 & 0 & 0 & \dots & -1 & \alpha_{n-1} \\ 0 & 0 & 0 & \dots & 0 & 1 \end{pmatrix}.$$

As formas lineares $\xi_i(\mathbf{x}) = x_i - \alpha_i x_n$ possuem soluções para quaisquer t_i satisfazendo as hipóteses do teorema. Em particular, pra $\tau > 0$, se $t_i = \tau^{1/(m-1)}$, $i = 1, \dots, m-1$ e $t_n = 1/\tau$, então é possível encontrar soluções do tipo

$$|\alpha_i - x_i/x_n| \leq \tau^{1/(m-1)}/x_n,$$

ou seja, encontramos aproximações racionais com mesmo denominador para α_i . Este caso torna-se não-trivial se consideramos $\alpha_i \notin \mathbb{Q}$, $i = 1, \dots, n$.

Exercício 1. Demonstre o Teorema 5. Por que só podemos garantir a existência de m pontos, e não $m + 1$? Explique também o “pouco de cuidado” que temos que tomar para garantir que $L_K(1) = \#(K \cap \mathbb{Z}^n) \geq 2m + 1$.

Exercício 2. Escreva uma demonstração formal dos Teoremas 1, 2 e 3.

Exercício 3. Demonstre a Observação 3.

Exercício 4. Seja K um politopo cruz $\{\mathbf{x} \in \mathbb{R}^n : |x_1| + \dots + |x_n| \leq 1\}$

(i) Quanto vale $\text{vol } K$?

(ii) Quanto vale $L_K(r)$?

(iii) Calcule o erro $|L_K(r) - \text{vol } K|$ e compare com o Teorema 1

Exercício 5. Repita o exercício acima para o simplex $K = \{\mathbf{x} \in \mathbb{R}^n : 0 \leq x_1 \leq x_2 \leq \dots \leq x_n \leq 1\}$.

Referências

[GL87] P. M. Gruber and C. G. Lekkerkerker. *Geometry of Numbers*. North-Holland, 1987.

[Hux03] M. N. Huxley. Exponential sums and lattice points iii. *Proceedings of the London Mathematical Society*, 87:591–609, 11 2003.